

Eingabe: Farbmétrisches Offset-Reflektiv-System ORS18

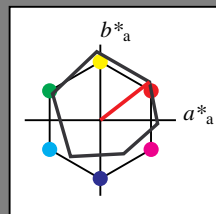
für Buntton $h^* = lab^*h = 38/360 = 0.105$

lab^*tch und lab^*nch

D65: Buntton O

LCH*Ma: 48 82 38

olv*Ma: 1.0 0.0 0.0



ORS18; adaptierte CIELAB-Daten

	$L^*=L^*_a$	a^*_a	b^*_a	$C^*_{ab,a}$	$h^*_{ab,a}$
O _m	47.94	65.05	50.54	82.38	38
Y _m	91.0	-4.72	90.58	90.7	93
L _m	50.9	-63.18	34.98	72.22	151
C _m	56.99	-39.34	-48.1	62.16	231
V _m	25.72	30.89	-44.4	54.09	305
M _m	49.99	75.76	-4.64	75.9	356
N _m	18.09	0.0	0.0	0.0	0
W _m	95.46	0.0	0.0	0.0	0
R _{CIE}	41.88	61.66	30.69	68.88	26
J _{CIE}	81.97	2.02	67.79	67.82	88
G _{CIE}	51.62	-41.32	9.74	42.46	167
B _{CIE}	29.2	-5.79	-49.61	49.96	263

Dreiecks-Helligkeit t^*

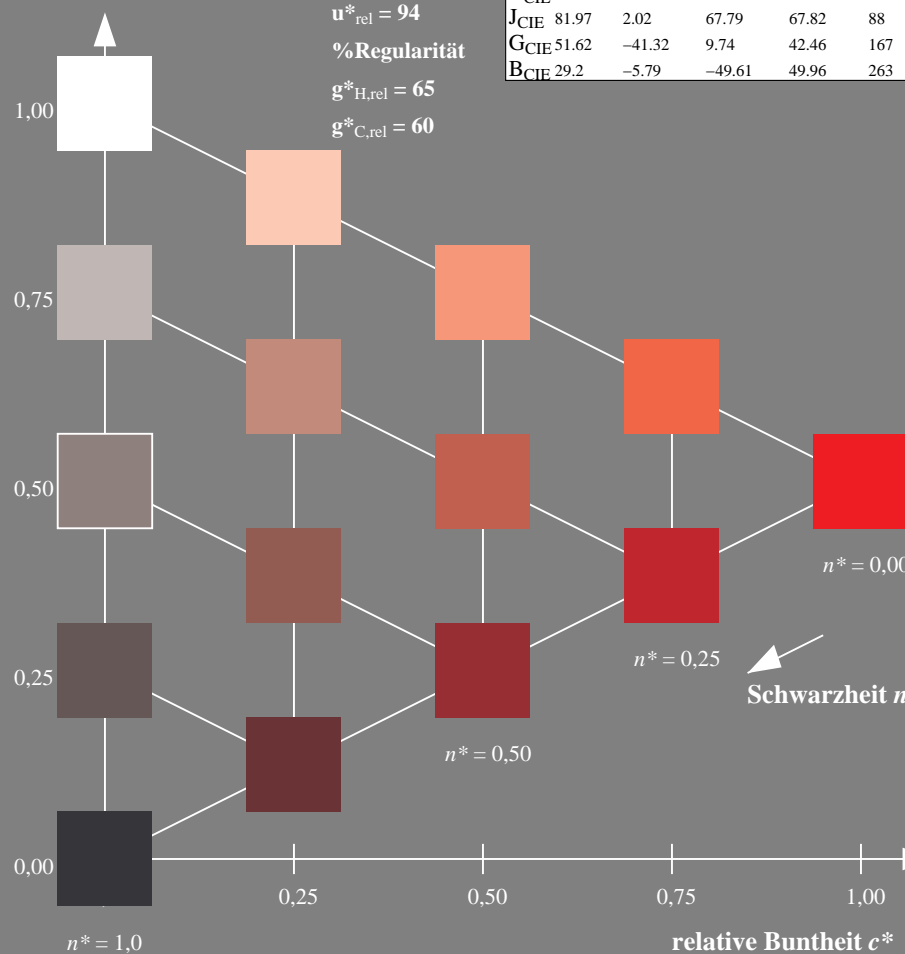
%Umfang

$u^*_{rel} = 94$

%Regularität

$g^*_{H,rel} = 65$

$g^*_{C,rel} = 60$



QG200-7, 5 stufige Reihen für konstanten CIELAB Buntton $38/360 = 0.105$ (links)

Ausgabe: Farbmétrisches Fernseh-Licht-System TLS00

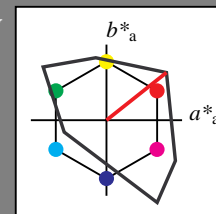
für Buntton $h^* = lab^*h = 38/360 = 0.107$

LAB^*LCH, LAB^*NCH

D65: Buntton O

LCH*Ma: 54 101 38

olv*Ma: 1.0 0.0 0.0



TLS00; adaptierte CIELAB-Daten

	$L^*=L^*_a$	a^*_a	b^*_a	$C^*_{ab,a}$	$h^*_{ab,a}$
O _m	54.19	79.36	63.0	101.33	38
Y _m	93.44	-14.18	82.59	83.8	100
L _m	82.82	-83.73	70.41	109.41	140
C _m	85.22	-55.9	-15.78	58.1	196
V _m	25.61	67.05	-108.87	127.87	302
M _m	58.76	91.18	-53.69	105.82	330
N _m	0.01	0.0	0.0	0.0	0
W _m	95.41	0.0	0.0	0.0	0
R _{CIE}	41.88	62.0	31.82	69.69	27
J _{CIE}	81.97	1.81	71.59	71.61	89
G _{CIE}	51.62	-41.11	11.52	42.7	164
B _{CIE}	29.2	-5.27	-49.33	49.62	264

CIELAB-Helligkeit L^*

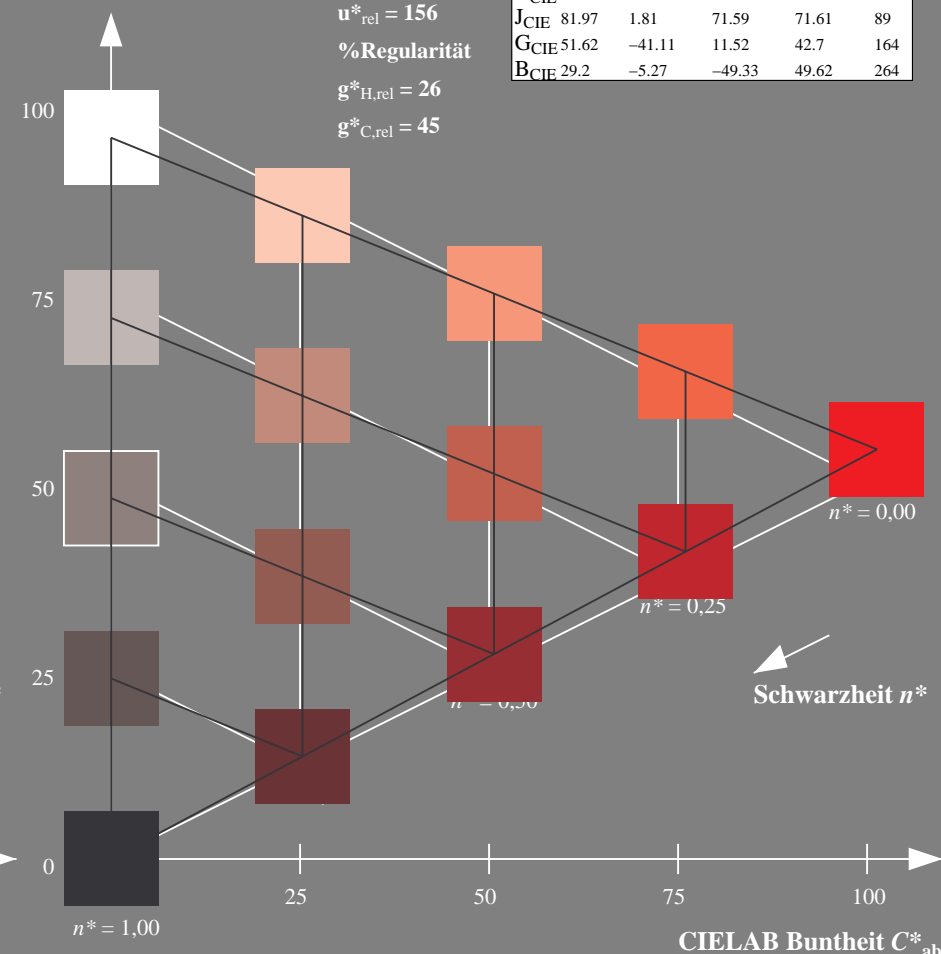
%Umfang

$u^*_{rel} = 156$

%Regularität

$g^*_{H,rel} = 26$

$g^*_{C,rel} = 45$



5 stufige Reihen für konstanten CIELAB Buntton $38/360 = 0.107$ (rechts)

BAM-Prüfvorlage QG20; Farbmétrik-Systeme ORS18 & TLS00 input: $cmY0^* setcmykcolor$

D50: Koordinatensysteme; 5stufige Farbreihen für 10 Bunttöne output: no change compared to input

Eingabe: Farbmétrisches Offset-Reflektiv-System ORS18

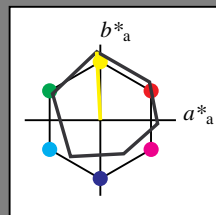
für Buntton $h^* = lab \cdot h = 93/360 = 0.258$

$lab \cdot tch$ und $lab \cdot nch$

D65: Buntton Y

LCH*Ma: 91 91 93

olv*Ma: 1.0 1.0 0.0



ORS18; adaptierte CIELAB-Daten

	$L^*=L^*_a$	a^*_a	b^*_a	$C^*_{ab,a}$	$h^*_{ab,a}$
O _m	47.94	65.05	50.54	82.38	38
Y _m	91.0	-4.72	90.58	90.7	93
L _m	50.9	-63.18	34.98	72.22	151
C _m	56.99	-39.34	-48.1	62.16	231
V _m	25.72	30.89	-44.4	54.09	305
M _m	49.99	75.76	-4.64	75.9	356
N _m	18.09	0.0	0.0	0.0	0
W _m	95.46	0.0	0.0	0.0	0
R _{CIE}	41.88	61.66	30.69	68.88	26
J _{CIE}	81.97	2.02	67.79	67.82	88
G _{CIE}	51.62	-41.32	9.74	42.46	167
B _{CIE}	29.2	-5.79	-49.61	49.96	263

Dreiecks-Helligkeit t^*

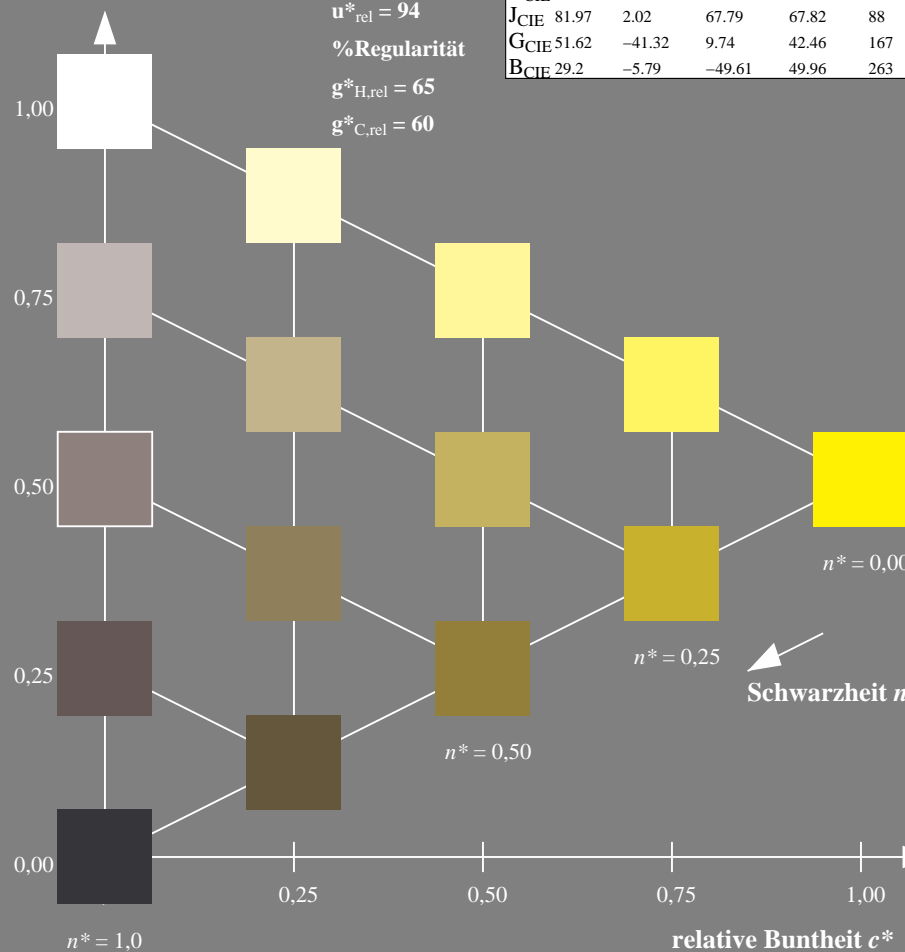
%Umfang

$u^*_{rel} = 94$

%Regularität

$g^*_{H,rel} = 65$

$g^*_{C,rel} = 60$



QG200-7, 5 stufige Reihen für konstanten CIELAB Buntton $93/360 = 0.258$ (links)

Ausgabe: Farbmétrisches Fernseh-Licht-System TLS00

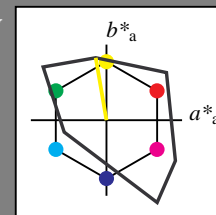
für Buntton $h^* = lab \cdot h = 100/360 = 0.277$

$LAB \cdot LCH$, $LAB \cdot NCH$

D65: Buntton Y

LCH*Ma: 93 84 100

olv*Ma: 1.0 1.0 0.0



TLS00; adaptierte CIELAB-Daten

	$L^*=L^*_a$	a^*_a	b^*_a	$C^*_{ab,a}$	$h^*_{ab,a}$
O _m	54.19	79.36	63.0	101.33	38
Y _m	93.44	-14.18	82.59	83.8	100
L _m	82.82	-83.73	70.41	109.41	140
C _m	85.22	-55.9	-15.78	58.1	196
V _m	25.61	67.05	-108.87	127.87	302
M _m	58.76	91.18	-53.69	105.82	330
N _m	0.01	0.0	0.0	0.0	0
W _m	95.41	0.0	0.0	0.0	0
R _{CIE}	41.88	62.0	31.82	69.69	27
J _{CIE}	81.97	1.81	71.59	71.61	89
G _{CIE}	51.62	-41.11	11.52	42.7	164
B _{CIE}	29.2	-5.27	-49.33	49.62	264

CIELAB-Helligkeit L^*

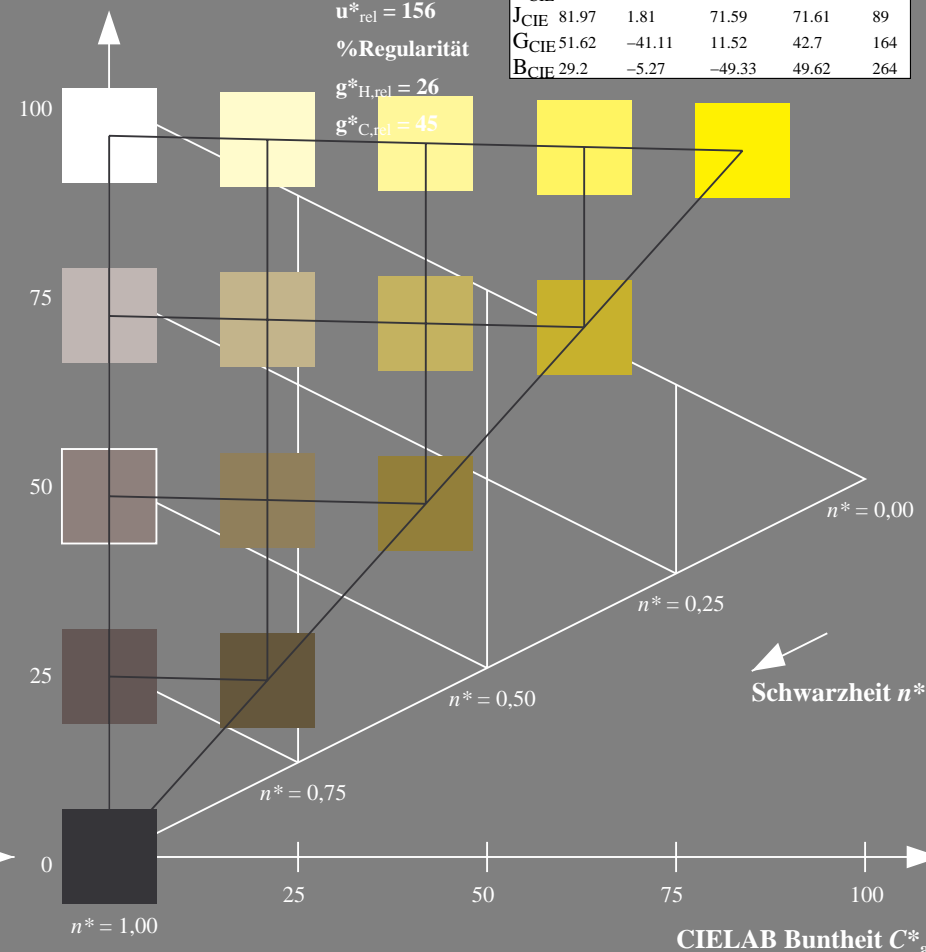
%Umfang

$u^*_{rel} = 156$

%Regularität

$g^*_{H,rel} = 26$

$g^*_{C,rel} = 45$



5 stufige Reihen für konstanten CIELAB Buntton $100/360 = 0.277$ (rechts)

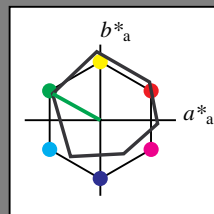
BAM-Prüfvorlage QG20; Farbmétrik-Systeme ORS18 & TLS00 input: $cmY0^* setcmykcolor$

D50: Koordinatensysteme; 5stufige Farbreihen für 10 Bunttöne output: no change compared to input

Eingabe: Farbmétrisches Offset-Reflektiv-System ORS18

für Buntton $h^* = lab^*h = 151/360 = 0.42$
 lab^*tch und lab^*nch

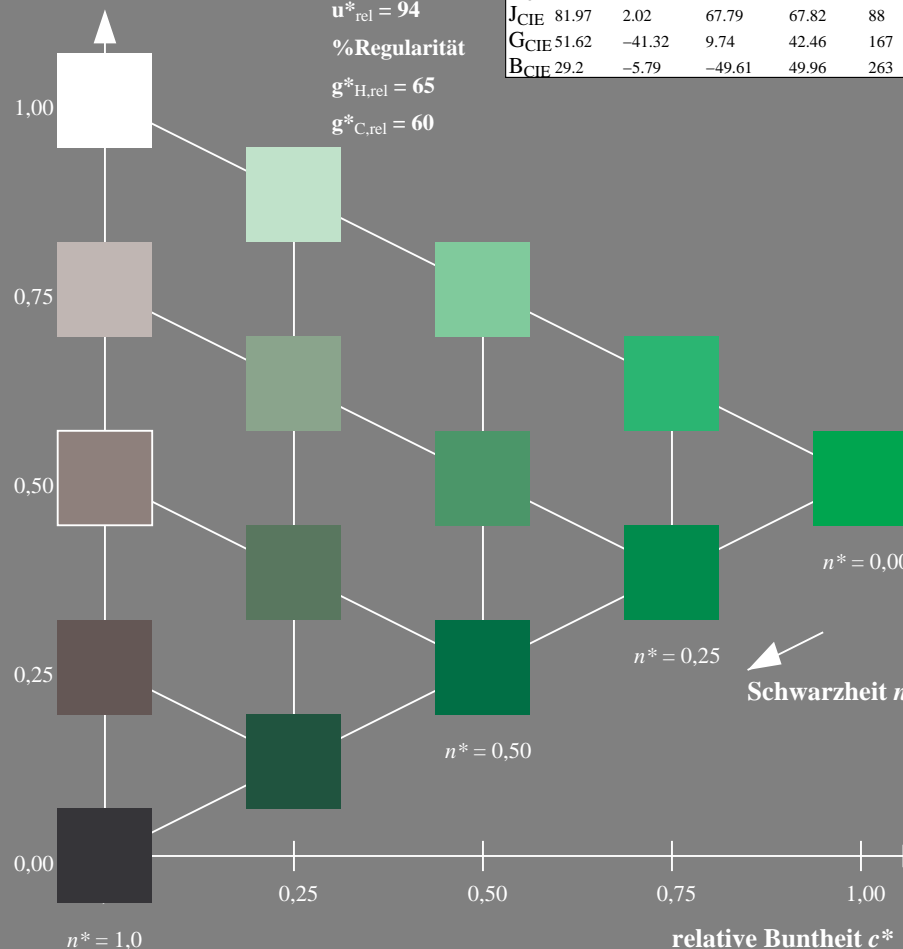
D65: Buntton L
LCH*Ma: 51 72 151
olv*Ma: 0.0 1.0 0.0



ORS18; adaptierte CIELAB-Daten					
	$L^*=L^*_a$	a^*_a	b^*_a	$C^*_{ab,a}$	$h^*_{ab,a}$
O _m	47.94	65.05	50.54	82.38	38
Y _m	91.0	-4.72	90.58	90.7	93
L _m	50.9	-63.18	34.98	72.22	151
C _m	56.99	-39.34	-48.1	62.16	231
V _m	25.72	30.89	-44.4	54.09	305
M _m	49.99	75.76	-4.64	75.9	356
N _m	18.09	0.0	0.0	0.0	0
W _m	95.46	0.0	0.0	0.0	0
R _{CIE}	41.88	61.66	30.69	68.88	26
J _{CIE}	81.97	2.02	67.79	67.82	88
G _{CIE}	51.62	-41.32	9.74	42.46	167
B _{CIE}	29.2	-5.79	-49.61	49.96	263

Dreiecks-Helligkeit t^*

%Umfang
 $u^*_{rel} = 94$
%Regularität
 $g^*_{H,rel} = 65$
 $g^*_{C,rel} = 60$

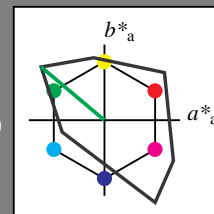


QG200-7, 5 stufige Reihen für konstanten CIELAB Buntton $151/360 = 0.42$ (links)

Ausgabe: Farbmétrisches Fernseh-Licht-System TLS00

für Buntton $h^* = lab^*h = 140/360 = 0.389$
 LAB^*LCH , LAB^*NCH

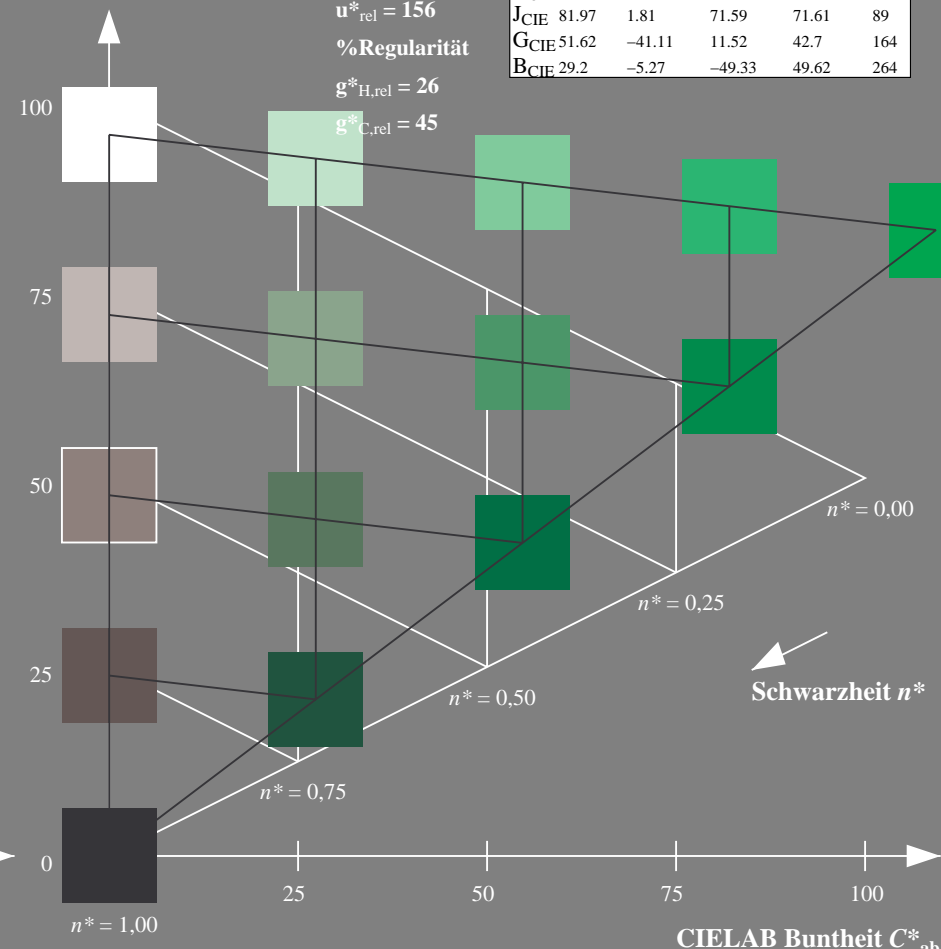
D65: Buntton L
LCH*Ma: 83 109 140
olv*Ma: 0.0 1.0 0.0



TLS00; adaptierte CIELAB-Daten					
	$L^*=L^*_a$	a^*_a	b^*_a	$C^*_{ab,a}$	$h^*_{ab,a}$
O _m	54.19	79.36	63.0	101.33	38
Y _m	93.44	-14.18	82.59	83.8	100
L _m	82.82	-83.73	70.41	109.41	140
C _m	85.22	-55.9	-15.78	58.1	196
V _m	25.61	67.05	-108.87	127.87	302
M _m	58.76	91.18	-53.69	105.82	330
N _m	0.01	0.0	0.0	0.0	0
W _m	95.41	0.0	0.0	0.0	0
R _{CIE}	41.88	62.0	31.82	69.69	27
J _{CIE}	81.97	1.81	71.59	71.61	89
G _{CIE}	51.62	-41.11	11.52	42.7	164
B _{CIE}	29.2	-5.27	-49.33	49.62	264

CIELAB-Helligkeit L^*

%Umfang
 $u^*_{rel} = 156$
%Regularität
 $g^*_{H,rel} = 26$
 $g^*_{C,rel} = 45$



5 stufige Reihen für konstanten CIELAB Buntton $140/360 = 0.389$ (rechts)

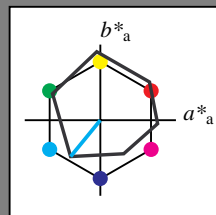
BAM-Prüfvorlage QG20; Farbmétrik-Systeme ORS18 & TLS00 input: $cmY0^* setcmykcolor$

D50: Koordinatensysteme; 5stufige Farbreihen für 10 Bunttöne output: no change compared to input

Eingabe: Farbmimetrisches Offset-Reflektiv-System ORS18

für Buntton $h^* = lab \cdot h = 231/360 = 0.641$
 $lab \cdot tch$ und $lab \cdot nch$

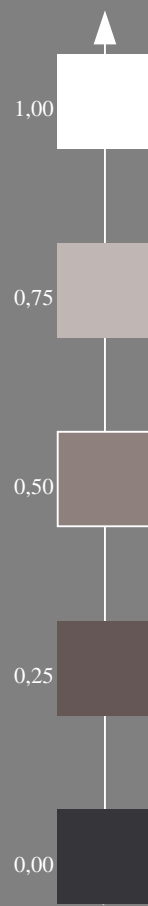
D65: Buntton C
LCH*Ma: 57 62 231
olv*Ma: 0.0 1.0 1.0



ORS18; adaptierte CIELAB-Daten

	$L^*=L^*_a$	a^*_a	b^*_a	$C^*_{ab,a}$	$h^*_{ab,a}$
O _m	47.94	65.05	50.54	82.38	38
Y _m	91.0	-4.72	90.58	90.7	93
L _m	50.9	-63.18	34.98	72.22	151
C _m	56.99	-39.34	-48.1	62.16	231
V _m	25.72	30.89	-44.4	54.09	305
M _m	49.99	75.76	-4.64	75.9	356
N _m	18.09	0.0	0.0	0.0	0
W _m	95.46	0.0	0.0	0.0	0
R _{CIE}	41.88	61.66	30.69	68.88	26
J _{CIE}	81.97	2.02	67.79	67.82	88
G _{CIE}	51.62	-41.32	9.74	42.46	167
B _{CIE}	29.2	-5.79	-49.61	49.96	263

Dreiecks-Helligkeit t^*



%Umfang

$u^*_{rel} = 94$

%Regularität

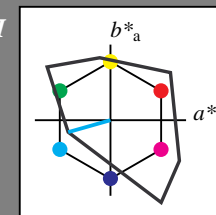
$g^*_{H,rel} = 65$

$g^*_{C,rel} = 60$

Ausgabe: Farbmimetrisches Fernseh-Licht-System TLS00

für Buntton $h^* = lab \cdot h = 196/360 = 0.544$
 $LAB \cdot LCH$, $LAB \cdot NCH$

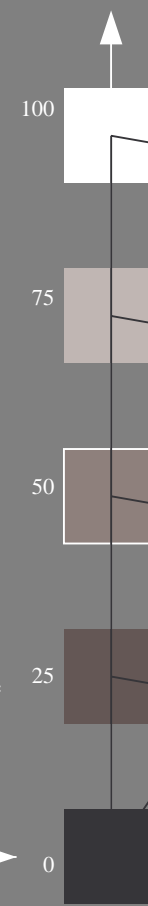
D65: Buntton C
LCH*Ma: 85 58 196
olv*Ma: 0.0 1.0 1.0



TLS00; adaptierte CIELAB-Daten

	$L^*=L^*_a$	a^*_a	b^*_a	$C^*_{ab,a}$	$h^*_{ab,a}$
O _m	54.19	79.36	63.0	101.33	38
Y _m	93.44	-14.18	82.59	83.8	100
L _m	82.82	-83.73	70.41	109.41	140
C _m	85.22	-55.9	-15.78	58.1	196
V _m	25.61	67.05	-108.87	127.87	302
M _m	58.76	91.18	-53.69	105.82	330
N _m	0.01	0.0	0.0	0.0	0
W _m	95.41	0.0	0.0	0.0	0
R _{CIE}	41.88	62.0	31.82	69.69	27
J _{CIE}	81.97	1.81	71.59	71.61	89
G _{CIE}	51.62	-41.11	11.52	42.7	164
B _{CIE}	29.2	-5.27	-49.33	49.62	264

CIELAB-Helligkeit L^*



%Umfang

$u^*_{rel} = 156$

%Regularität

$g^*_{H,rel} = 26$

$g^*_{C,rel} = 45$

Schwarzheit n^*

Schwarzheit n^*

QG200-7, 5 stufige Reihen für konstanten CIELAB Buntton 231/360 = 0.641 (links)

5 stufige Reihen für konstanten CIELAB Buntton 196/360 = 0.544 (rechts)

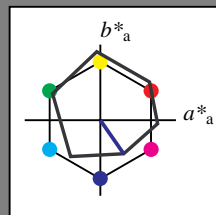
BAM-Prüfvorlage QG20; Farbmimetrik-Systeme ORS18 & TLS00 input: $cmY0^* setcmykcolor$

D50: Koordinatensysteme; 5stufige Farbreihen für 10 Bunttöne output: no change compared to input

Eingabe: Farbmétrisches Offset-Reflektiv-System ORS18

für Buntton $h^* = lab^*h = 305/360 = 0.847$
 lab^*tch und lab^*nch

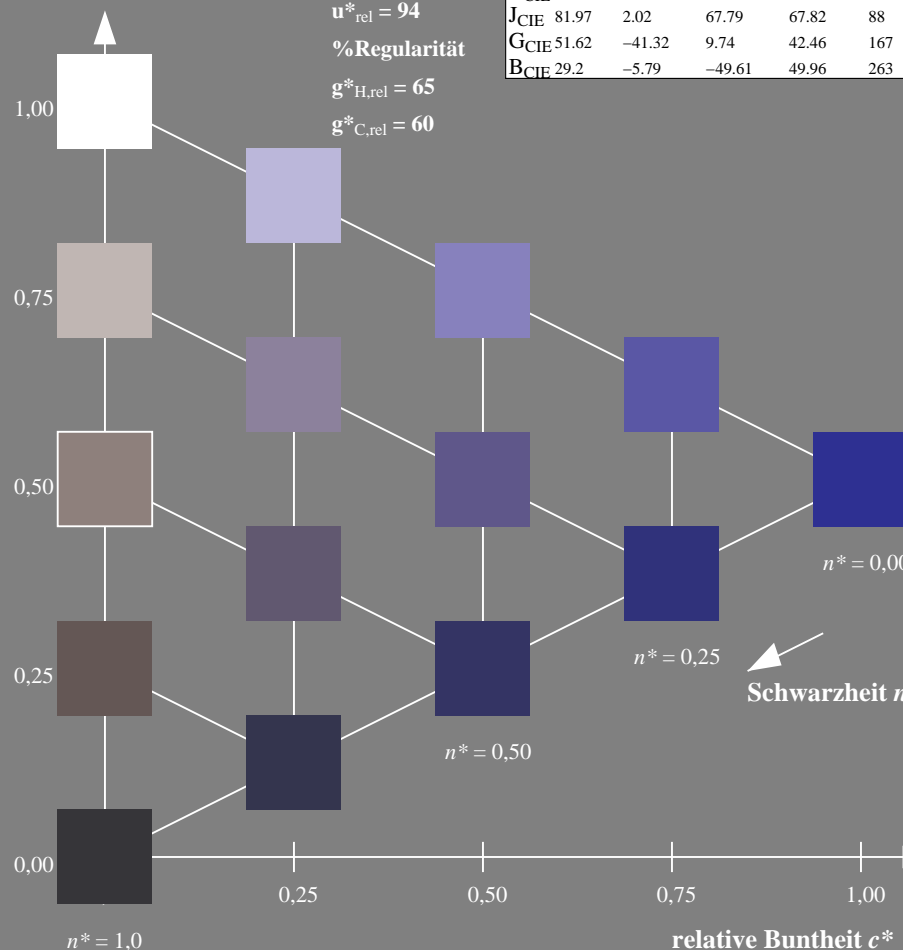
D65: Buntton V
LCH*Ma: 26 54 305
olv*Ma: 0.0 0.0 1.0



ORS18; adaptierte CIELAB-Daten					
	$L^*=L^*_a$	a^*_a	b^*_a	$C^*_{ab,a}$	$h^*_{ab,a}$
O _m	47.94	65.05	50.54	82.38	38
Y _m	91.0	-4.72	90.58	90.7	93
L _m	50.9	-63.18	34.98	72.22	151
C _m	56.99	-39.34	-48.1	62.16	231
V _m	25.72	30.89	-44.4	54.09	305
M _m	49.99	75.76	-4.64	75.9	356
N _m	18.09	0.0	0.0	0.0	0
W _m	95.46	0.0	0.0	0.0	0
R _{CIE}	41.88	61.66	30.69	68.88	26
J _{CIE}	81.97	2.02	67.79	67.82	88
G _{CIE}	51.62	-41.32	9.74	42.46	167
B _{CIE}	29.2	-5.79	-49.61	49.96	263

Dreiecks-Helligkeit t^*

%Umfang
 $u^*_{rel} = 94$
%Regularität
 $g^*_{H,rel} = 65$
 $g^*_{C,rel} = 60$

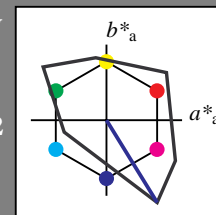


QG200-7, 5 stufige Reihen für konstanten CIELAB Buntton 305/360 = 0.847 (links)

Ausgabe: Farbmétrisches Fernseh-Licht-System TLS00

für Buntton $h^* = lab^*h = 302/360 = 0.838$
 LAB^*LCH , LAB^*NCH

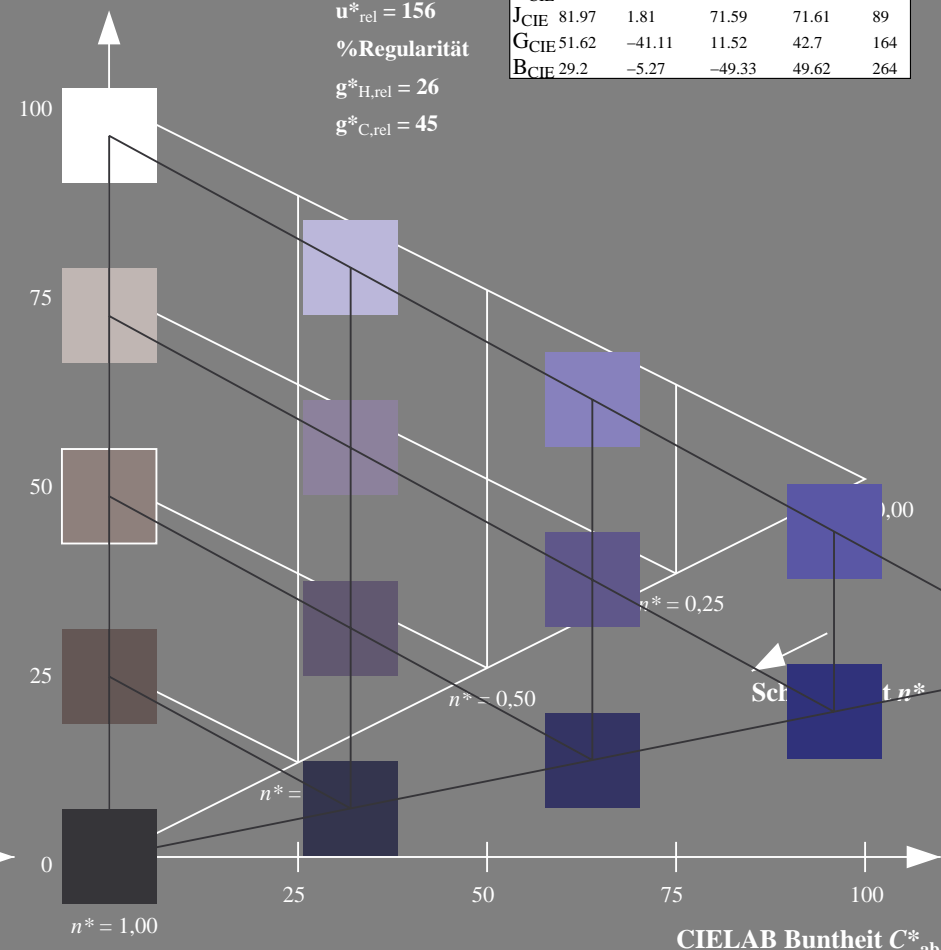
D65: Buntton V
LCH*Ma: 26 128 302
olv*Ma: 0.0 0.0 1.0



TLS00; adaptierte CIELAB-Daten					
	$L^*=L^*_a$	a^*_a	b^*_a	$C^*_{ab,a}$	$h^*_{ab,a}$
O _m	54.19	79.36	63.0	101.33	38
Y _m	93.44	-14.18	82.59	83.8	100
L _m	82.82	-83.73	70.41	109.41	140
C _m	85.22	-55.9	-15.78	58.1	196
V _m	25.61	67.05	-108.87	127.87	302
M _m	58.76	91.18	-53.69	105.82	330
N _m	0.01	0.0	0.0	0.0	0
W _m	95.41	0.0	0.0	0.0	0
R _{CIE}	41.88	62.0	31.82	69.69	27
J _{CIE}	81.97	1.81	71.59	71.61	89
G _{CIE}	51.62	-41.11	11.52	42.7	164
B _{CIE}	29.2	-5.27	-49.33	49.62	264

CIELAB-Helligkeit L^*

%Umfang
 $u^*_{rel} = 156$
%Regularität
 $g^*_{H,rel} = 26$
 $g^*_{C,rel} = 45$



5 stufige Reihen für konstanten CIELAB Buntton 302/360 = 0.838 (rechts)

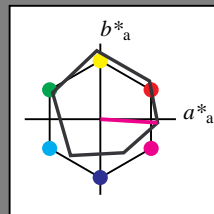
BAM-Prüfvorlage QG20; Farbmétrik-Systeme ORS18 & TLS00 input: $cmY0^* setcmykcolor$

D50: Koordinatensysteme; 5stufige Farbreihen für 10 Bunttöne output: no change compared to input

Eingabe: Farbmimetrisches Offset-Reflektiv-System ORS18

für Buntton $h^* = lab^*h = 356/360 = 0.99$
 lab^*tch und lab^*nch

D65: Buntton M
LCH*Ma: 50 76 356
olv*Ma: 1.0 0.0 1.0



ORS18; adaptierte CIELAB-Daten

	$L^*=L^*_a$	a^*_a	b^*_a	$C^*_{ab,a}$	$h^*_{ab,a}$
O _m	47.94	65.05	50.54	82.38	38
Y _m	91.0	-4.72	90.58	90.7	93
L _m	50.9	-63.18	34.98	72.22	151
C _m	56.99	-39.34	-48.1	62.16	231
V _m	25.72	30.89	-44.4	54.09	305
M _m	49.99	75.76	-4.64	75.9	356
N _m	18.09	0.0	0.0	0.0	0
W _m	95.46	0.0	0.0	0.0	0
R _{CIE}	41.88	61.66	30.69	68.88	26
J _{CIE}	81.97	2.02	67.79	67.82	88
G _{CIE}	51.62	-41.32	9.74	42.46	167
B _{CIE}	29.2	-5.79	-49.61	49.96	263

Dreiecks-Helligkeit t^*

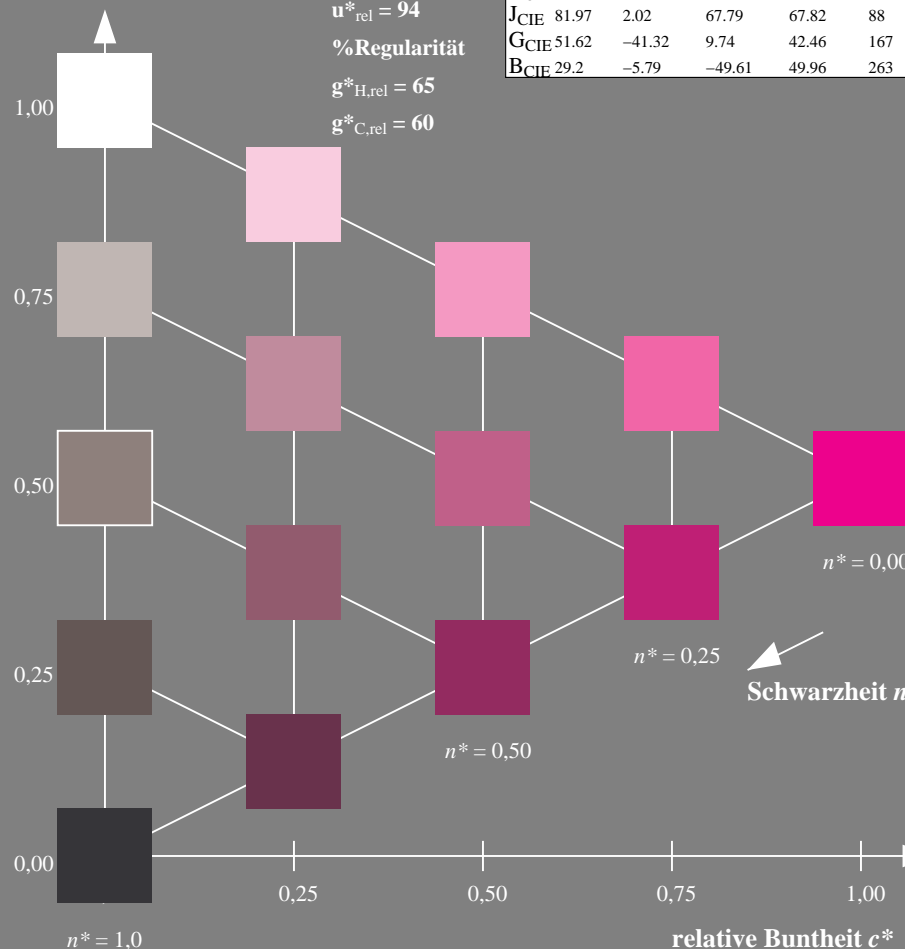
%Umfang

$u^*_{rel} = 94$

%Regularität

$g^*_{H,rel} = 65$

$g^*_{C,rel} = 60$



QG200-7, 5 stufige Reihen für konstanten CIELAB Buntton 356/360 = 0.99 (links)

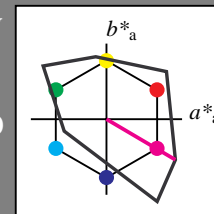
BAM-Prüfvorlage QG20; Farbmimetrik-Systeme ORS18 & TLS00 input: $cmY0^* setcmykcolor$

D50: Koordinatensysteme; 5stufige Farbreihen für 10 Bunttöne output: no change compared to input

Ausgabe: Farbmimetrisches Fernseh-Licht-System TLS00

für Buntton $h^* = lab^*h = 330/360 = 0.915$
 LAB^*LCH , LAB^*NCH

D65: Buntton M
LCH*Ma: 59 106 330
olv*Ma: 1.0 0.0 1.0



TLS00; adaptierte CIELAB-Daten

	$L^*=L^*_a$	a^*_a	b^*_a	$C^*_{ab,a}$	$h^*_{ab,a}$
O _m	54.19	79.36	63.0	101.33	38
Y _m	93.44	-14.18	82.59	83.8	100
L _m	82.82	-83.73	70.41	109.41	140
C _m	85.22	-55.9	-15.78	58.1	196
V _m	25.61	67.05	-108.87	127.87	302
M _m	58.76	91.18	-53.69	105.82	330
N _m	0.01	0.0	0.0	0.0	0
W _m	95.41	0.0	0.0	0.0	0
R _{CIE}	41.88	62.0	31.82	69.69	27
J _{CIE}	81.97	1.81	71.59	71.61	89
G _{CIE}	51.62	-41.11	11.52	42.7	164
B _{CIE}	29.2	-5.27	-49.33	49.62	264

CIELAB-Helligkeit L^*

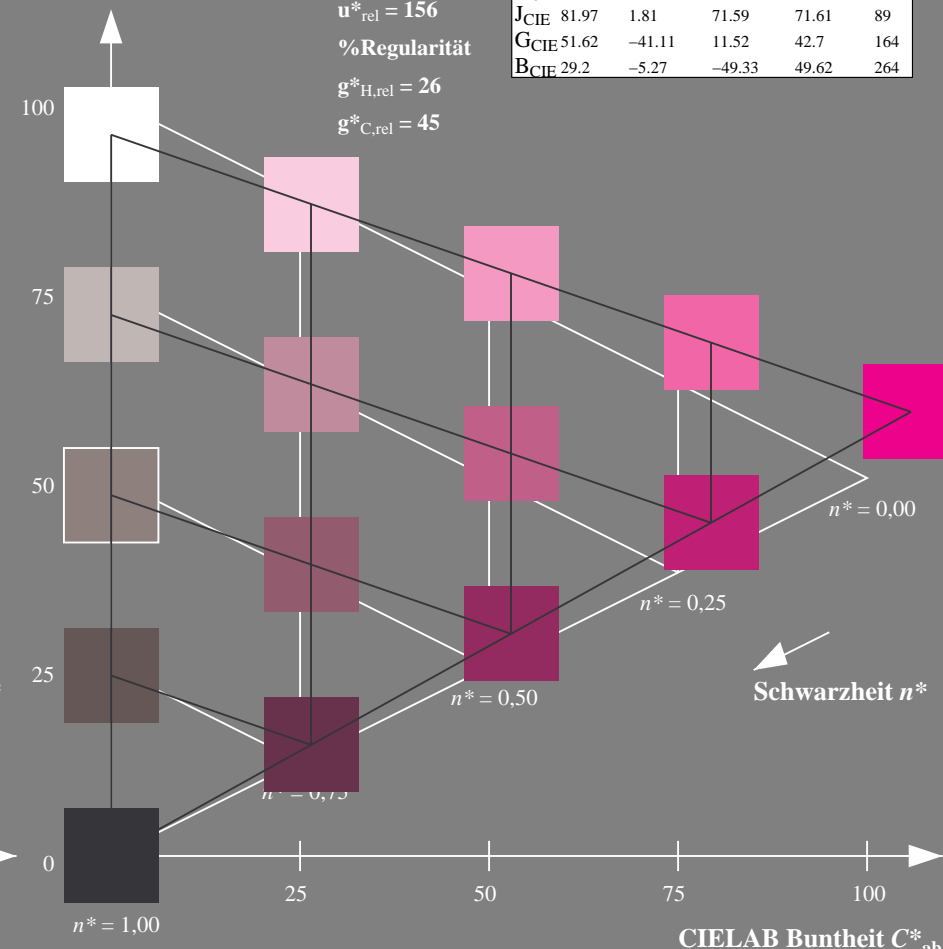
%Umfang

$u^*_{rel} = 156$

%Regularität

$g^*_{H,rel} = 26$

$g^*_{C,rel} = 45$

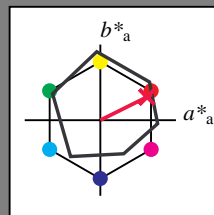


5 stufige Reihen für konstanten CIELAB Buntton 330/360 = 0.915 (rechts)

Eingabe: Farbmétrisches Offset-Reflektiv-System ORS18

für Buntton $h^* = lab \cdot h = 26/360 = 0.074$
 $lab \cdot tch$ und $lab \cdot nch$

D65: Buntton R
LCH*Ma: 49 76 26
olv*Ma: 1.0 0.0 0.3



ORS18; adaptierte CIELAB-Daten

	$L^*=L^*_a$	a^*_a	b^*_a	$C^*_{ab,a}$	$h^*_{ab,a}$
O _m	47.94	65.05	50.54	82.38	38
Y _m	91.0	-4.72	90.58	90.7	93
L _m	50.9	-63.18	34.98	72.22	151
C _m	56.99	-39.34	-48.1	62.16	231
V _m	25.72	30.89	-44.4	54.09	305
M _m	49.99	75.76	-4.64	75.9	356
N _m	18.09	0.0	0.0	0.0	0
W _m	95.46	0.0	0.0	0.0	0
R _m	41.88	61.66	30.69	68.88	26
J _m	81.97	2.02	67.79	67.82	88
G _m	51.62	-41.32	9.74	42.46	167
B _m	29.2	-5.79	-49.61	49.96	263

Dreiecks-Helligkeit t^*

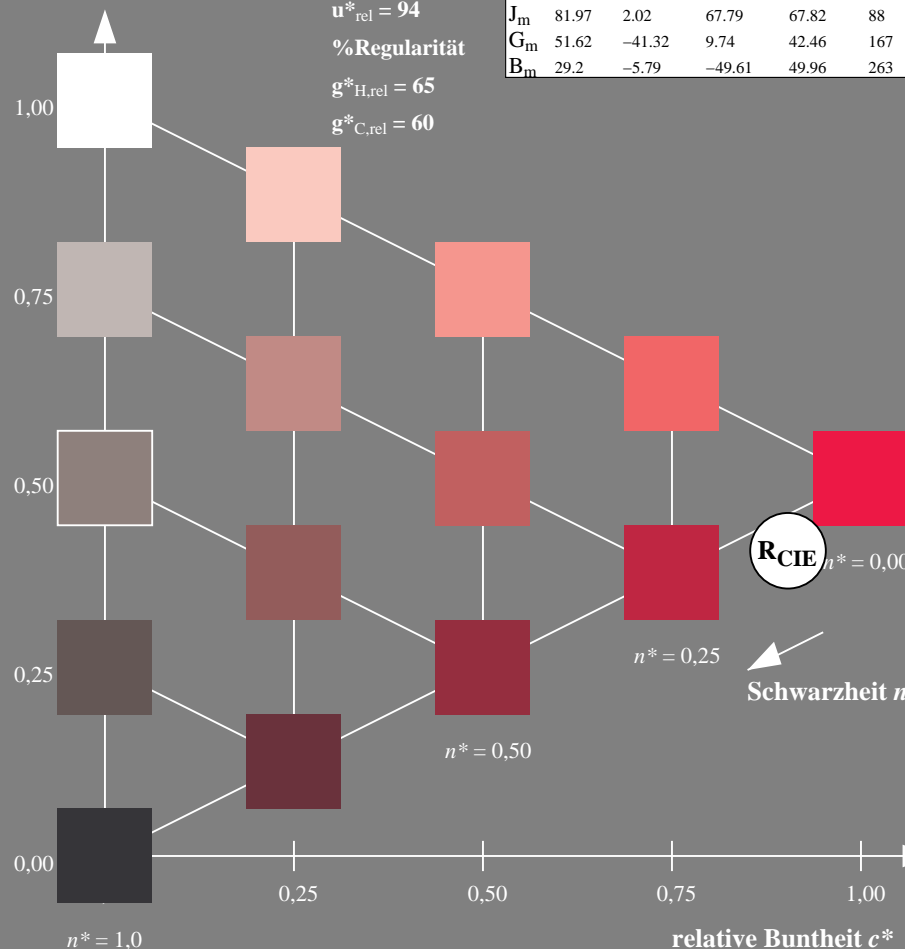
%Umfang

$u^*_{rel} = 94$

%Regularität

$g^*_{H,rel} = 65$

$g^*_{C,rel} = 60$

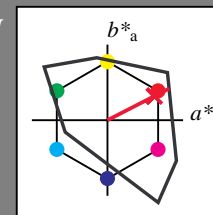


QG200-7, 5 stufige Reihen für konstanten CIELAB Buntton 26/360 = 0.074 (links)

Ausgabe: Farbmétrisches Fernseh-Licht-System TLS00

für Buntton $h^* = lab \cdot h = 27/360 = 0.075$
 $LAB \cdot LCH$, $LAB \cdot NCH$

D65: Buntton R
LCH*Ma: 55 92 27
olv*Ma: 1.0 0.0 0.18



TLS00; adaptierte CIELAB-Daten

	$L^*=L^*_a$	a^*_a	b^*_a	$C^*_{ab,a}$	$h^*_{ab,a}$
O _m	54.19	79.36	63.0	101.33	38
Y _m	93.44	-14.18	82.59	83.8	100
L _m	82.82	-83.73	70.41	109.41	140
C _m	85.22	-55.9	-15.78	58.1	196
V _m	25.61	67.05	-108.87	127.87	302
M _m	58.76	91.18	-53.69	105.82	330
N _m	0.01	0.0	0.0	0.0	0
W _m	95.41	0.0	0.0	0.0	0
R _m	41.88	62.0	31.82	69.69	27
J _m	81.97	1.81	71.59	71.61	89
G _m	51.62	-41.11	11.52	42.7	164
B _m	29.2	-5.27	-49.33	49.62	264

CIELAB-Helligkeit L^*

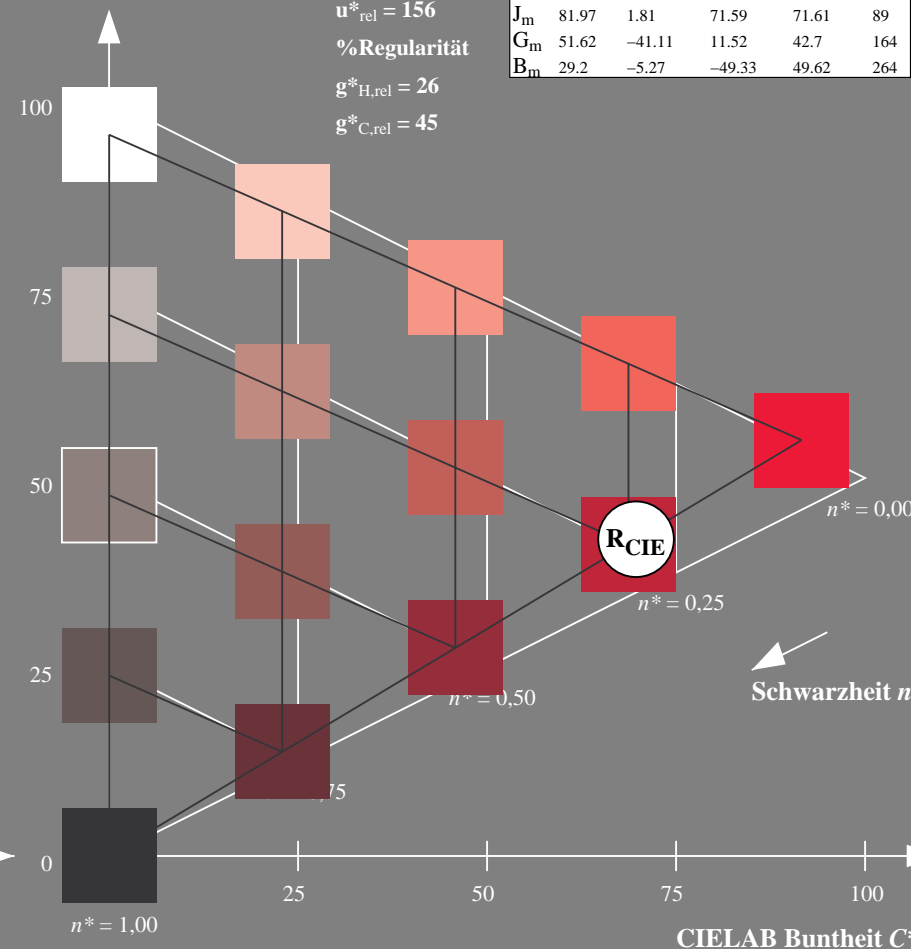
%Umfang

$u^*_{rel} = 156$

%Regularität

$g^*_{H,rel} = 26$

$g^*_{C,rel} = 45$



5 stufige Reihen für konstanten CIELAB Buntton 27/360 = 0.075 (rechts)

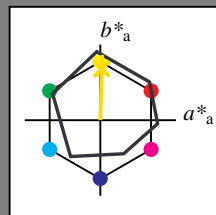
BAM-Prüfvorlage QG20; Farbmétrik-Systeme ORS18 & TLS00 input: $cmY0^* setcmykcolor$

D50: Koordinatensysteme; 5stufige Farbreihen für 10 Bunttöne output: no change compared to input

Eingabe: Farbmimetrisches Offset-Reflektiv-System ORS18

für Buntton $h^* = lab^*h = 88/360 = 0.245$
 lab^*tch und lab^*nch

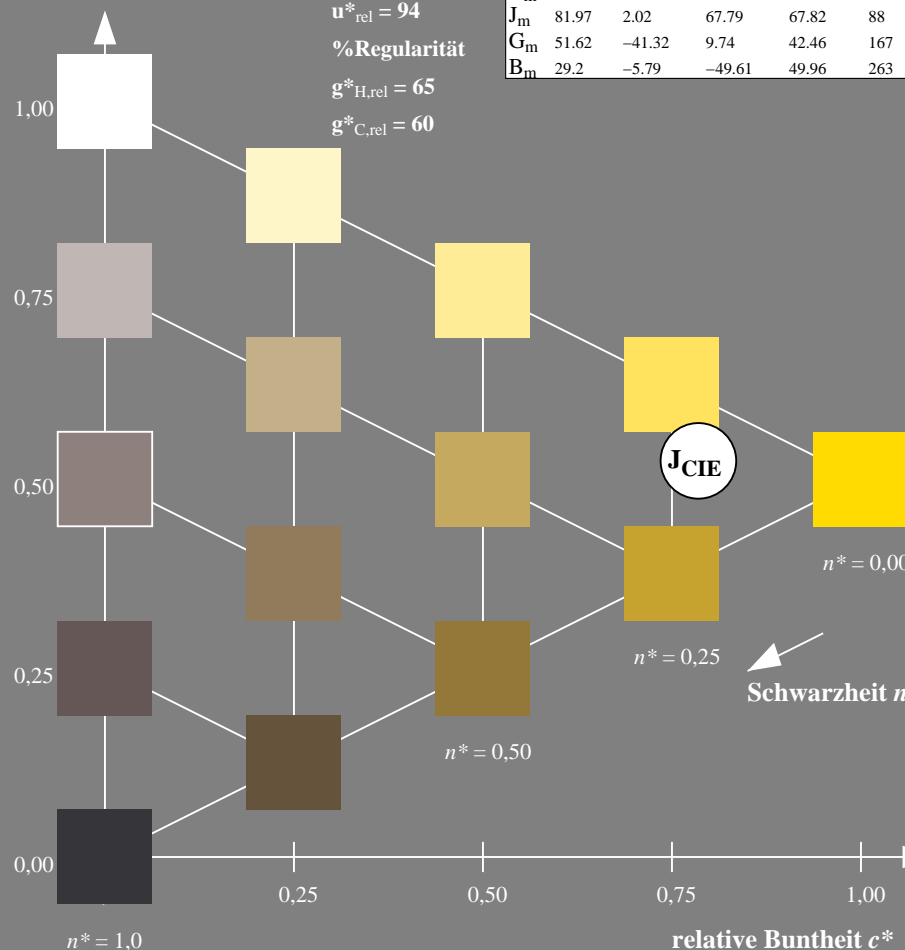
D65: Buntton J
LCH*Ma: 86 86 88
olv*Ma: 1.0 0.9 0.0



ORS18; adaptierte CIELAB-Daten					
	$L^*=L^*_a$	a^*_a	b^*_a	$C^*_{ab,a}$	$h^*_{ab,a}$
O _m	47.94	65.05	50.54	82.38	38
Y _m	91.0	-4.72	90.58	90.7	93
L _m	50.9	-63.18	34.98	72.22	151
C _m	56.99	-39.34	-48.1	62.16	231
V _m	25.72	30.89	-44.4	54.09	305
M _m	49.99	75.76	-4.64	75.9	356
N _m	18.09	0.0	0.0	0.0	0
W _m	95.46	0.0	0.0	0.0	0
R _m	41.88	61.66	30.69	68.88	26
J _m	81.97	2.02	67.79	67.82	88
G _m	51.62	-41.32	9.74	42.46	167
B _m	29.2	-5.79	-49.61	49.96	263

Dreiecks-Helligkeit t^*

%Umfang
 $u^*_{rel} = 94$
%Regularität
 $g^*_{H,rel} = 65$
 $g^*_{C,rel} = 60$

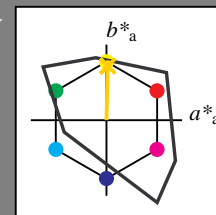


QG200-7, 5 stufige Reihen für konstanten CIELAB Buntton 88/360 = 0.245 (links)

Ausgabe: Farbmimetrisches Fernseh-Licht-System TLS00

für Buntton $h^* = lab^*h = 89/360 = 0.246$
 LAB^*LCH , LAB^*NCH

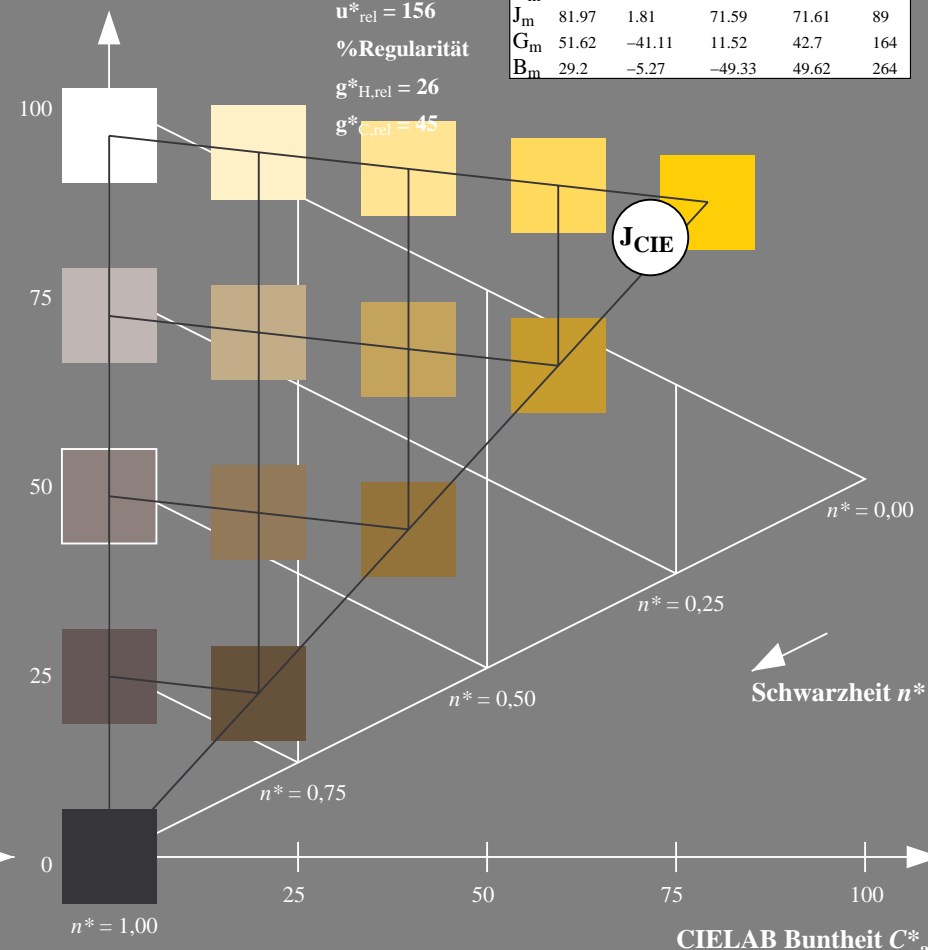
D65: Buntton J
LCH*Ma: 87 79 89
olv*Ma: 1.0 0.83 0.0



TLS00; adaptierte CIELAB-Daten					
	$L^*=L^*_a$	a^*_a	b^*_a	$C^*_{ab,a}$	$h^*_{ab,a}$
O _m	54.19	79.36	63.0	101.33	38
Y _m	93.44	-14.18	82.59	83.8	100
L _m	82.82	-83.73	70.41	109.41	140
C _m	85.22	-55.9	-15.78	58.1	196
V _m	25.61	67.05	-108.87	127.87	302
M _m	58.76	91.18	-53.69	105.82	330
N _m	0.01	0.0	0.0	0.0	0
W _m	95.41	0.0	0.0	0.0	0
R _m	41.88	62.0	31.82	69.69	27
J _m	81.97	1.81	71.59	71.61	89
G _m	51.62	-41.11	11.52	42.7	164
B _m	29.2	-5.27	-49.33	49.62	264

CIELAB-Helligkeit L^*

%Umfang
 $u^*_{rel} = 156$
%Regularität
 $g^*_{H,rel} = 26$
 $g^*_{C,rel} = 45$



5 stufige Reihen für konstanten CIELAB Buntton 89/360 = 0.246 (rechts)

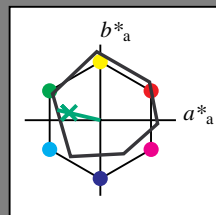
BAM-Prüfvorlage QG20; Farbmimetrik-Systeme ORS18 & TLS00 input: $cmY0^* setcmykcolor$

D50: Koordinatensysteme; 5stufige Farbreihen für 10 Bunttöne output: no change compared to input

Eingabe: Farbmétrisches Offset-Reflektiv-System ORS18

für Buntton $h^* = lab^*h = 167/360 = 0.463$
 lab^*tch und lab^*nch

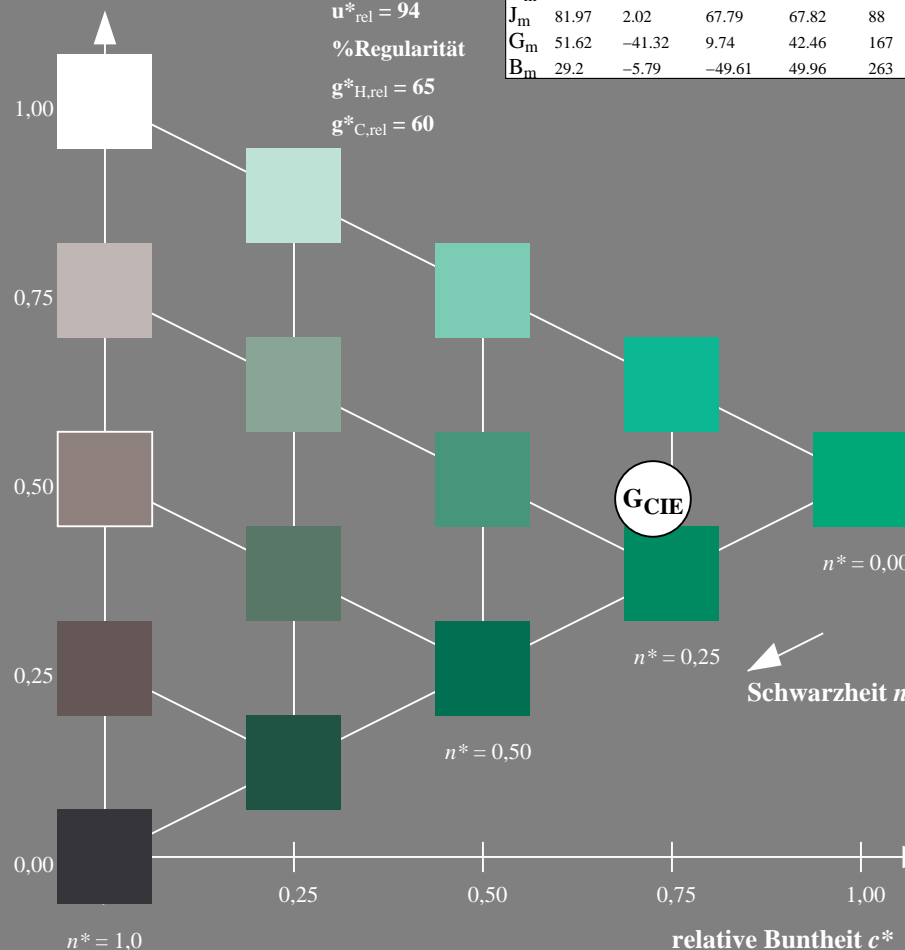
D65: Buntton G
LCH*Ma: 52 59 167
olv*Ma: 0.0 1.0 0.26



ORS18; adaptierte CIELAB-Daten					
	$L^*=L^*_a$	a^*_a	b^*_a	$C^*_{ab,a}$	$h^*_{ab,a}$
O _m	47.94	65.05	50.54	82.38	38
Y _m	91.0	-4.72	90.58	90.7	93
L _m	50.9	-63.18	34.98	72.22	151
C _m	56.99	-39.34	-48.1	62.16	231
V _m	25.72	30.89	-44.4	54.09	305
M _m	49.99	75.76	-4.64	75.9	356
N _m	18.09	0.0	0.0	0.0	0
W _m	95.46	0.0	0.0	0.0	0
R _m	41.88	61.66	30.69	68.88	26
J _m	81.97	2.02	67.79	67.82	88
G _m	51.62	-41.32	9.74	42.46	167
B _m	29.2	-5.79	-49.61	49.96	263

Dreiecks-Helligkeit t^*

%Umfang
 $u^*_{rel} = 94$
%Regularität
 $g^*_{H,rel} = 65$
 $g^*_{C,rel} = 60$

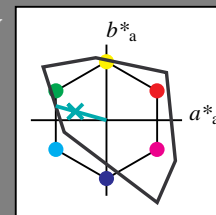


QG200-7, 5 stufige Reihen für konstanten CIELAB Buntton $167/360 = 0.463$ (links)

Ausgabe: Farbmétrisches Fernseh-Licht-System TLS00

für Buntton $h^* = lab^*h = 164/360 = 0.457$
 LAB^*LCH , LAB^*NCH

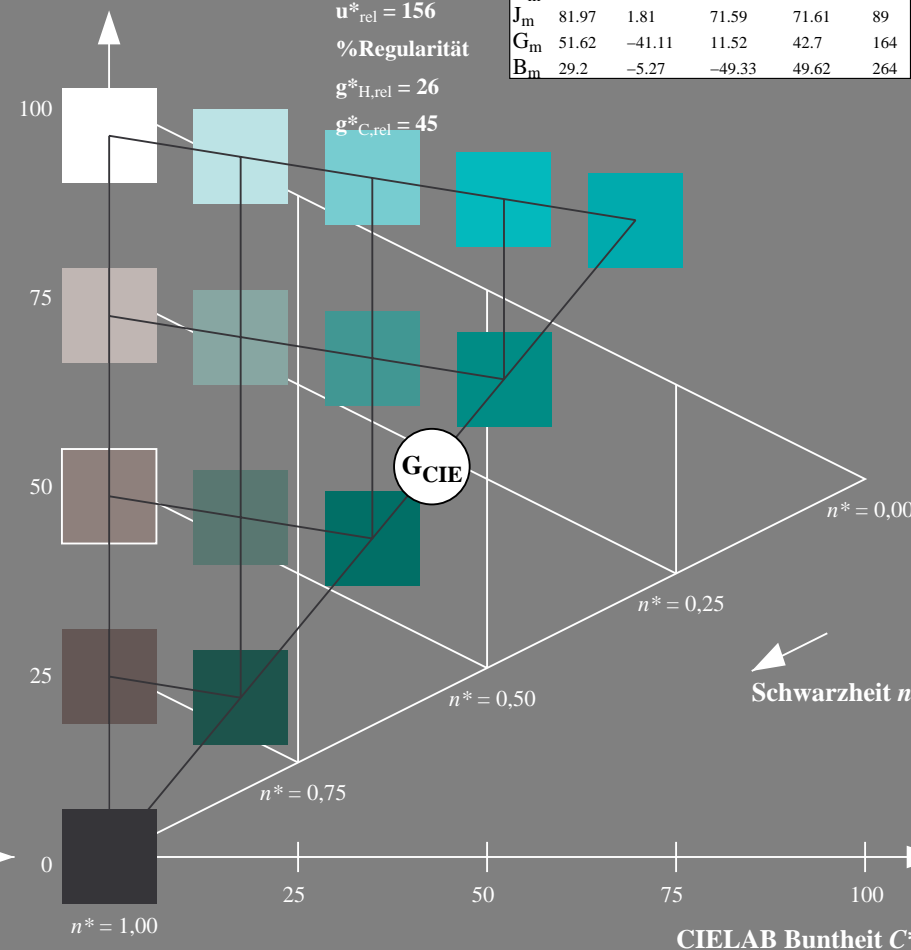
D65: Buntton G
LCH*Ma: 84 70 164
olv*Ma: 0.0 1.0 0.6



TLS00; adaptierte CIELAB-Daten					
	$L^*=L^*_a$	a^*_a	b^*_a	$C^*_{ab,a}$	$h^*_{ab,a}$
O _m	54.19	79.36	63.0	101.33	38
Y _m	93.44	-14.18	82.59	83.8	100
L _m	82.82	-83.73	70.41	109.41	140
C _m	85.22	-55.9	-15.78	58.1	196
V _m	25.61	67.05	-108.87	127.87	302
M _m	58.76	91.18	-53.69	105.82	330
N _m	0.01	0.0	0.0	0.0	0
W _m	95.41	0.0	0.0	0.0	0
R _m	41.88	62.0	31.82	69.69	27
J _m	81.97	1.81	71.59	71.61	89
G _m	51.62	-41.11	11.52	42.7	164
B _m	29.2	-5.27	-49.33	49.62	264

CIELAB-Helligkeit L^*

%Umfang
 $u^*_{rel} = 156$
%Regularität
 $g^*_{H,rel} = 26$
 $g^*_{C,rel} = 45$



5 stufige Reihen für konstanten CIELAB Buntton $164/360 = 0.457$ (rechts)

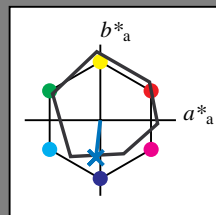
BAM-Prüfvorlage QG20; Farbmétrik-Systeme ORS18 & TLS00 input: $cmY0^* setcmykcolor$

D50: Koordinatensysteme; 5stufige Farbreihen für 10 Bunttöne output: no change compared to input

Eingabe: Farbmimetrisches Offset-Reflektiv-System ORS18

für Buntton $h^* = lab \cdot h = 263/360 = 0.731$
 $lab \cdot tch$ und $lab \cdot nch$

D65: Buntton B
LCH*Ma: 42 47 263
olv*Ma: 0.0 0.52 1.0



ORS18; adaptierte CIELAB-Daten

	$L^*=L^*_a$	a^*_a	b^*_a	$C^*_{ab,a}$	$h^*_{ab,a}$
O _m	47.94	65.05	50.54	82.38	38
Y _m	91.0	-4.72	90.58	90.7	93
L _m	50.9	-63.18	34.98	72.22	151
C _m	56.99	-39.34	-48.1	62.16	231
V _m	25.72	30.89	-44.4	54.09	305
M _m	49.99	75.76	-4.64	75.9	356
N _m	18.09	0.0	0.0	0.0	0
W _m	95.46	0.0	0.0	0.0	0
R _m	41.88	61.66	30.69	68.88	26
J _m	81.97	2.02	67.79	67.82	88
G _m	51.62	-41.32	9.74	42.46	167
B _m	29.2	-5.79	-49.61	49.96	263

Dreiecks-Helligkeit t^*

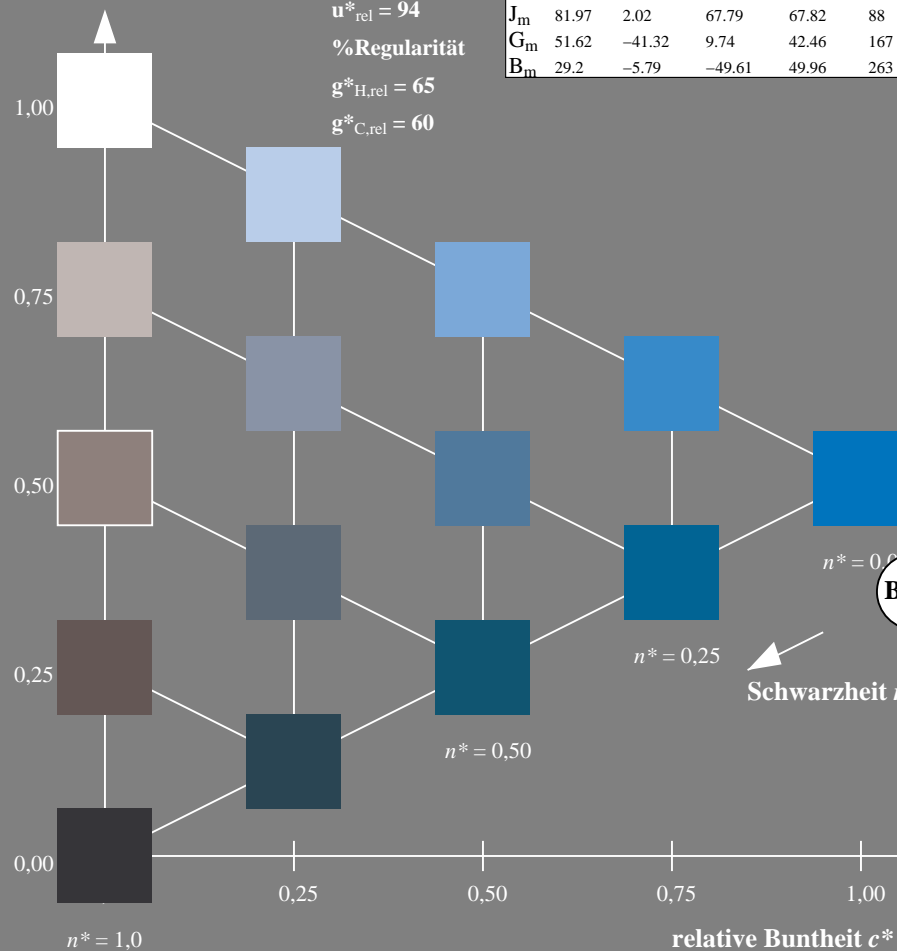
%Umfang

$u^*_{rel} = 94$

%Regularität

$g^*_{H,rel} = 65$

$g^*_{C,rel} = 60$

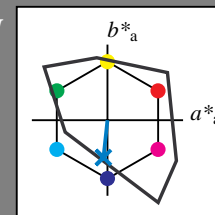


QG200-7, 5 stufige Reihen für konstanten CIELAB Buntton 263/360 = 0.731 (links)

Ausgabe: Farbmimetrisches Fernseh-Licht-System TLS00

für Buntton $h^* = lab \cdot h = 264/360 = 0.733$
 $LAB \cdot LCH$, $LAB \cdot NCH$

D65: Buntton B
LCH*Ma: 61 54 264
olv*Ma: 0.0 0.59 1.0



TLS00; adaptierte CIELAB-Daten

	$L^*=L^*_a$	a^*_a	b^*_a	$C^*_{ab,a}$	$h^*_{ab,a}$
O _m	54.19	79.36	63.0	101.33	38
Y _m	93.44	-14.18	82.59	83.8	100
L _m	82.82	-83.73	70.41	109.41	140
C _m	85.22	-55.9	-15.78	58.1	196
V _m	25.61	67.05	-108.87	127.87	302
M _m	58.76	91.18	-53.69	105.82	330
N _m	0.01	0.0	0.0	0.0	0
W _m	95.41	0.0	0.0	0.0	0
R _m	41.88	62.0	31.82	69.69	27
J _m	81.97	1.81	71.59	71.61	89
G _m	51.62	-41.11	11.52	42.7	164
B _m	29.2	-5.27	-49.33	49.62	264

CIELAB-Helligkeit L^*

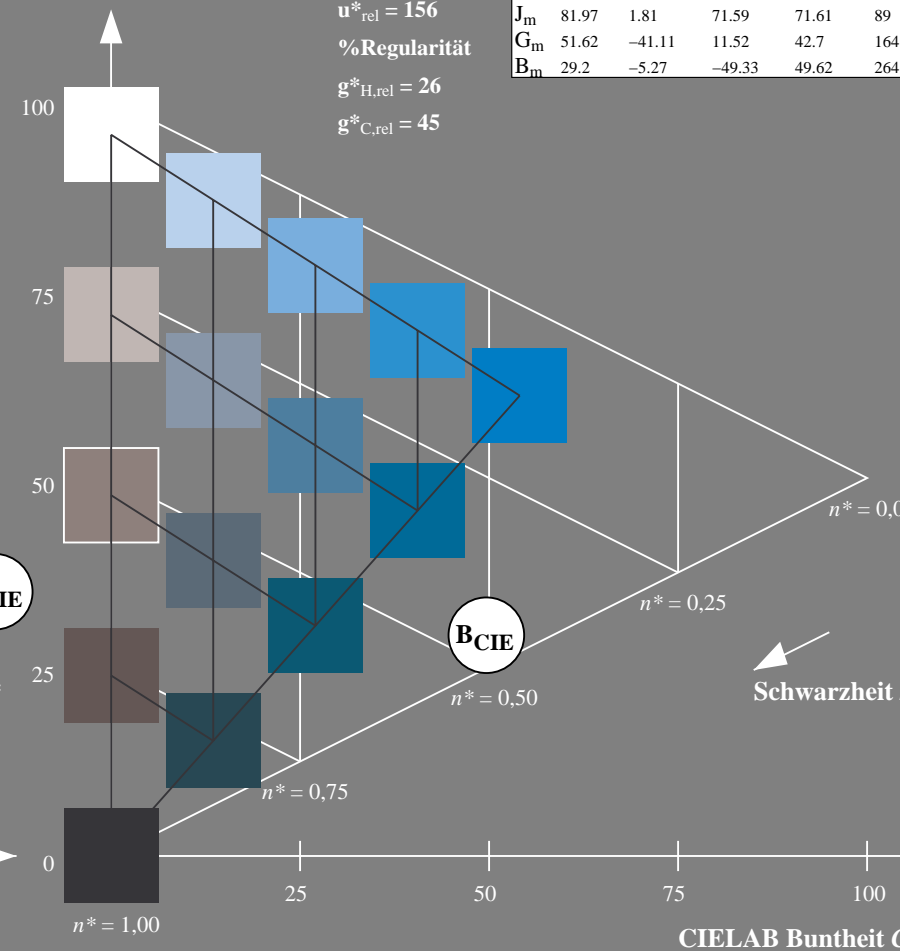
%Umfang

$u^*_{rel} = 156$

%Regularität

$g^*_{H,rel} = 26$

$g^*_{C,rel} = 45$



5 stufige Reihen für konstanten CIELAB Buntton 264/360 = 0.733 (rechts)

BAM-Prüfvorlage QG20; Farbmimetrik-Systeme ORS18 & TLS00 input: $cmY0^* setcmykcolor$

D50: Koordinatensysteme; 5stufige Farbreihen für 10 Bunttöne output: no change compared to input